

文章编号: 1674-2869(2019)02-0179-05

空气质量监测大数据区间的统计问题

刘黎志, 何经纬

智能机器人湖北省重点实验室(武汉工程大学), 湖北 武汉 430205

摘要: 为降低客户端和服务端之间的远程过程调用(RPC)通讯, 提高对存储空气质量监测数据的HBase表的区间统计效率, 提出了一种基于协处理器的大数据区间统计方法。使用终端协处理器可以将区间统计过程放在服务端运行, 通过特定的协议将区间统计所需的参数从客户端传递到服务端, 协处理器调用结束后, 将结果返回到客户端, 客户端对返回的消息进行处理汇总, 最终得到区间统计结果。实验证明, 使用终端协处理器进行空气质量监测数据区间统计较使用客户端扫描方式至少快一个数量级, 极大地提高了统计效率。

关键词: 协处理器; 大数据; 区间统计; HBase

中图分类号: TP311 文献标识码: A doi: 10.3969/j.issn.1674-2869.2019.02.015

Big Data Interval Statistics for Air Quality Monitoring

LIU Lizhi, HE Jingwei

Hubei Key Laboratory of Intelligent Robot (Wuhan Institute of Technology), Wuhan 430205, China

Abstract: To reduce the remote procedure call communications between the client and the server, and improve the interval statistical efficiency of the HBase table that stores air quality monitoring data, we proposed a big data interval statistics method based on co-processor. Interval statistics process was put into an endpoint co-processor running on server side, then the required parameters for interval statistics were transmitted from the client to the server through a specific protocol. The response message which was processed and summarized was returned to client when calling co-processor was finished, thus the interval statistics result was finally obtained. The experiments prove that using endpoint co-processor to do interval statistics for air quality monitoring data is at least one order of magnitude faster than using client scan method, so the statistics efficiency is promoted dramatically.

Keywords: co-processor; big data; interval statistics; HBase

城市空气质量监测站的监测过程需要记录大量实时数据, 以及根据实时数据计算出的小时均值数据、日均值数据和评价数据^[1-3]。湖北省环境中心站所管辖的102个自动化站每天产生的海量数据, 如果使用关系型数据库存储, 数据检索的实时性和效率将无法保证。基于Hadoop的大数据解决方案的研究为有效存储和快速检索空气质量监测数据提供了新途径, 其中HBase是建立在Hadoop之上, 具有高可靠性、高性能、列存储、可伸

缩、实时读写等特点的数据库系统, HBase通过指定行键(row key)的范围来查询数据, 为海量的数据提供高效率的数据维护及检索功能^[4-11]。

在对空气质量监测数据进行查询时, 通常需要对某个监测值或评价值进行区间统计, 如统计宜昌市全年NO₂的实时浓度值在0.00~41.00 μg/m³, 43.05~82.00 μg/m³, 84.05~123.00 μg/m³, 125.05~164.00 μg/m³, 166.05~205.00 μg/m³区间的分布情况; 统计宜昌市的伍家岗站2016年6月轻度污染

收稿日期: 2018-11-29

作者简介: 刘黎志, 硕士, 副教授。E-mail: llz73@163.com

基金项目: 武汉工程大学第十届研究生教育创新基金

引文格式: 刘黎志, 何经纬. 空气质量监测大数据区间的统计问题[J]. 武汉工程大学学报, 2019, 41(2): 179-183.

以上的天数,即AQI指数分别在101~150,151~200,201~300,>300的天数。HBase提供的Scan方法,每执行一次next操作,只会从服务端读取一行数据,因此扫描多个Region会在客户端和服务端之间形成大量的远程过程调用(remote procedure call, RPC)通讯,从而严重影响查询效率。HBase0.92版本中提出的终端(Endpoint)协处理器可以在服务端完成计数、求和、求最大值等统计工作,并将结果返回到客户端,减少了客户端到服务端的RPC调用,从而极大地提高了统计查询的效

率^[12-14]。本文将对如何使用终端(Endpoint)协处理器对空气质量监测大数据进行区间统计进行讨论。

1 空气质量监测大数据存储模式设计

基于HBase的空气质量监测大数据的存储模式设计如图1所示。

空气质量存储模式的具体描述见文献^[15],实际的应用证明该模式可以有效地对空气质量监测数据进行存储及满足地区、站点之间的数据同比、数据环比、趋势分析等查询所需的要求。

表-EMCData													
RTData		HourData		HourEval		DailyData		DailyEval					
列族-RTData: VERSIONS=>60													
SO ₂		NO ₂		PM10		CO		O ₃		PM2.5			
列族-HourData													
SO ₂	SO ₂ IAQI	NO ₂	NO ₂ IAQI	PM10	PM10IAQI	CO	COIAQI	O3-1	O3-1IAQI	O3-8	O3-8IAQI	PM2.5	PM2.5IAQI
列族-HourEval													
AQI						Eval							
列族-DailyData													
SO ₂	SO ₂ IAQI	NO ₂	NO ₂ IAQI	PM10	PM10IAQI	CO	COIAQI	O3-1	O3-1IAQI	O3-8	O3-8IAQI	PM2.5	PM2.5IAQI
列族-DailyEval													
AQI						Eval							

图1 空气质量监测数据存储模式

Fig. 1 Store schema of air quality monitoring data

2 区间统计协处理器

协处理器分为观察者(Observer)模式及终端(Endpoint)模式两种。终端协处理器可以将数据检索统计过程放在服务端完成,减少客户端到服

务端的远程过程调用产生的通讯开销,从而提高统计效率,使用终端协处理器对数据进行区间统计的过程如图2所示。

数据区间统计的步骤为:1)定义EMCStat.proto文件,按照protobuf协议定义区间统计协处理器

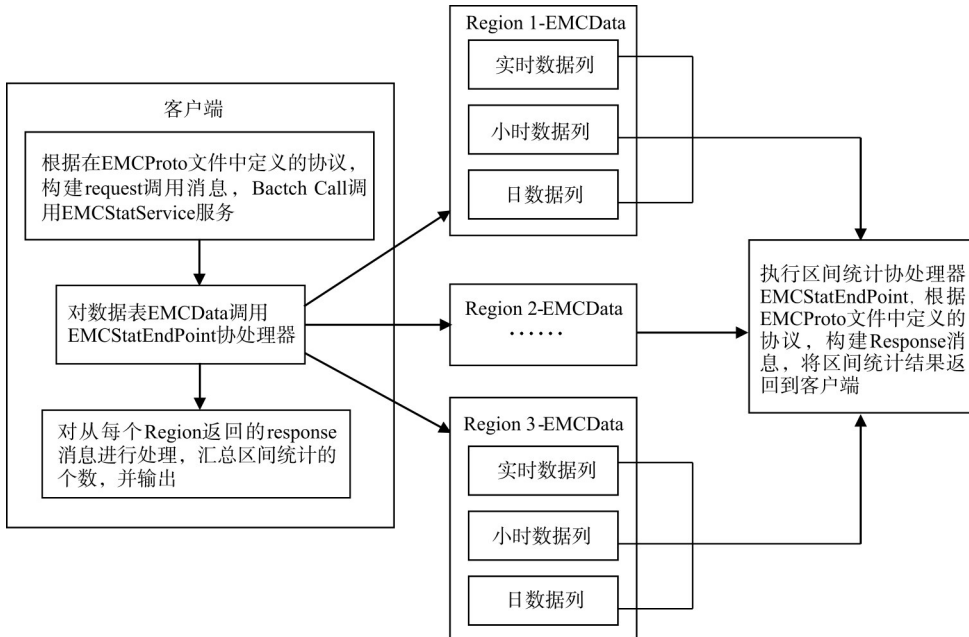


图2 协处理器调用过程

Fig. 2 Process procedure of co-processor

的 request, response 消息格式及 RPC 服务;2)定义协处理器类 EMCStatEndPoint, 实现 EMCStat.proto 文件中定义的 RPC 服务 EMCStatService, 服务中的 getEMCStat 方法实现区间统计的业务逻辑;3)为 EMCData 表加载 EMCStatEndpoint 协处理器;4)客户端调用 EMCStatEndpoint 协处理器,对分布在不同 Region 上的数据进行区间统计,并输出结果。

2.1 Protobuf 协议

终端协处理器使用 protobuf 协议来定义客户端与服务端进行通信的消息格式,实现空气质量区间统计终端协处理器的 protobuf 协议的定义为:

```
message EMCStatRequest
{ //定义客户端请求协议格式
  required string areacode =1; //地区码
  optional string ssid=2; //站点编码
  required string stattime =3; //统计开始时间
  required string endtime =4; //统计结束时间
  required string cf =5; //列簇名
  required string qual=6; //列限定符
  message LHLimit //区间嵌套消息
  {
    required float ll=1; //区间下限
    required float hl=2; //区间上限
  }
  repeated LHLimit lh = 7;
  //区间消息可重复,表示可以定义多个区间
}

message EMCStatResponse
{ //定义服务端返回协议格式
  required string areacode =1; //地区码
  optional string ssid=2; //站点编码
  required string cf =3; //列簇名
  required string qual=4; //列限定符
  message LHCount //区间统计结果嵌套消息
  {
    required float ll=1; //区间下限
    required float hl=2; //区间上限
    required int64 count =3; //区间计数
  }
  repeated LHCount lhc = 5;
  //可以输出多个区间统计结果
}

service EMCStatService
{ //协议服务名
  //rpc 调用方法名
  rpc getEMCStat(EMCStatRequest)
  returns (EMCStatResponse);
}
```

客户端在调用服务端的终端协处理器时,会根据 EMCStatRequest 协议的格式,向协处理器传

递参数,包括:区间统计的地区码、站点编码、统计时间段,需要统计的列簇名及列限定符名,统计区间集合列表。协议服务 EMCStatService 表示其 RPC 方法 getEMCStat 以 EMCStatRequest 消息为输入,在获取其定义的所需参数后,执行区间统计程序,服务端协处理器按照 EMCStatResponse 协议格式将区间统计的结果返回给客户端。所有协议被定义在 EMCStat.proto 文件中,使用 protoc 工具,执行 protoc --java_out=./src EMCStat.proto 命令,可以在项目中生成 EMCStatProtos.java 文件,该 Java 文件是区间统计协处理器数据交换协议的代码实现,文件中定义了 EMCStatService 抽象类以及抽象方法 getEMCStat。

2.2 区间统计协处理器实现

定义 EMCStatEndPoint 类为区间统计协处理器的实现逻辑类,该类继承于 EMCStatService 抽象类,并实现了 Coprocessor 和 CoprocessorService 接口,EMCStatEndPoint 类中的 getEMCStat 方法用于实现区间统计过程,主要过程如下:

算法 getEMCStat (RpcController rpcCt, EMCStatRequest emcsRequest, RpcCallback <EMCStatResponse> done)

```
{
  输入: emcsRequest;
  输出: done;
  1: Scan sc = new Scan();sc.setMaxVersions();
  2: 读取 emcsRequest 消息的各个字段,包括地区码、站点编码、统计时间段、列簇名、列限定符赋值到对应的变量;
  3: 根据 emcsRequest 消息提供的统计区间对区间集合列表进行初始化,将每个区间的计数设置为0;
  4: if(站点编码为空){将地区下的所有站点编码添加到 lstSSIDS 集合,表示统计所有站点};
  5: else{将站点编码添加到 lstSSIDS 集合};
  6: EMCStatResponse response = null; InternalScanner itScanner = null;
  7: for(String assid: lstSSIDS){
  8: sc.setStartRow(startKey); //区间统计 startKey 为地区码_站点编码_统计开始时间
  9: sc.setStopRow(endKey); //区间统计 endKey 为地区码_站点编码_统计结束时间
  //判断是否需要对该 region 进行统计
  10: if(startKey > env.getRegion(). getEndKey() || endKey < env.getRegion(). getStartKey()){break;};
  11: sc.addColumn(Bytes.toBytes(列簇名), Bytes.toBytes(列限定符));
  12: itScanner = env.getRegion(). getScanner(sc);
  13: List<Cell> cellResults = new ArrayList<Cell>();
  boolean isHasMore = false;
  14: do {
```

```

15:  isHasMore = itScanner.next(cellResults);
16:  for (Cell cell : cellResults) {根据 cell 的值,确定
其所所在的区间后,将其集合列表中对应的记数加1;}
17:  cellResults.clear();}

```

区间统计协处理器在对每个 Region 进行统计时,可以根据 Region 的 StartKey 和 EndKey 来判断该 Region 是否参与统计,当进行区间统计的 StartKey 大于 Region 的 EndKey 或区间统计的 EndKey 小于 Region 的 StartKey 时,可直接跳过该 Region。在如图 3 所示的 5 个区间统计中,Region-A 参与区间统计 2、3、4,不参与区间统计 1、5。在区间统计过程中跳过不需要进行统计的 Region,可以加快扫描速度,提高统计效率。

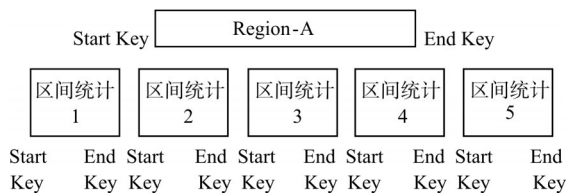


图3 Region 统计逻辑

Fig. 3 Statistic logic of region

算法中的区间类的定义和 EMCStatResponse 中的消息 LHCount 的格式一致。EMCStatEndPoint 类编译成功后,将其所在的 jar 包导出,并上传到 Hadoop 集群的 HDFS 分布式文件系统中,使用 alter ‘EMCData’, ‘coprocessor’ => ‘hdfs://jar 包的路径/jar 包|EMCStatEndPoint 协处理器的完整类名|表示优先级的整数|参数’ 命令将协处理器加载到 EMCData 表。

2.3 客户端调用

客户端区间统计业务逻辑按 EMCStatRequest 的消息格式定义协处理器统计过程所需要的参数后,以 Batch Call 方式调用 EMCData 表的区间统计协处理器,由于 Batch Call 只负责对每个 Region 进行区间统计,所以还需要对每个 Region 的区间统计结果进行汇总后输出,过程如下:

算法: main(String[] args){

输入: args[0]: 地区码, args[1] ssid: 站点编码, 若为“-”, 表示查询所有子站点; args[2] startTime-endTime 以-分隔; args[3] 列簇名: 限定符; args[4] lh-hh: lh-hh 表示统计区间

输出: 每个 region 的统计结果;

1: 根据 args 数组, 将用户输入的参数地区码、站点编码、统计时间段、列簇名、列限定符赋值读取到对应的变量;

2: 将统计区间读取到 LHLimit 类型的集合列表中; 构造 EMCStatRequest 消息;

3: long beginTime=System.currentTimeMillis(); Config-

uration config=HBaseConfiguration.create();

4: HTable htb=new HTable(config, “EMCData”);

5: Map<byte [], String> resultMaps = htb.coprocessorService(EMCStatService.class, null, null,

6: new Batch.Call<EMCStatService,String>() {调用协处理器

7: public String call(EMCStatService emcStat){

8: ServerRpcController srController = new ServerRpcController();

9: BlockingRpcCallback<EMCStatResponse> bRpcCb =

10: new BlockingRpcCallback<EMCStatResponse>();

11: emcStat.getEMCStat(controller, request, bRpcCb);

12: EMCStatProtos.EMCStatResponse emcsResponse = bRpcCb.get(); //得到 Response 返回消息

13: if (emcsResponse != null) {List<LHCount> lstlhCount = emcsResponse.getLhcList();

14: for (LHCount lhc : lstlhCount) {输出每个 region 的统计结果; 将每个 region 的区间统计结果进行累加;}

15: return “”;}}

通过记录区间统计的开始和结束时间,得到协处理器区间统计所需的时间,可以快速地与直接使用 Scan 操作进行区间统计所需的时间进行比较。

3 实验部分

实验环境的安装和配置和文献^[16]中描述的一致。模拟的数据写入程序按每个监测项目,每小时 40~60 个实时值写入 EMCData 表,实时数据写入完成后,自动计算并写入小时均值及评价,全天的小时均值计算完成后,自动计算并写入全天的日均值及评价。

在数据的写入过程中,当 Region 的数量分别为 3、5、7、9、11 时,对存储 NO₂ 实时浓度数据的列 RTData 按 0.00~41.00 μg/m³, 43.05~82.00 μg/m³, 84.05~123.00 μg/m³, 125.05~164.00 μg/m³, 166.05~205.00 μg/m³ 进行区间统计,参数为:地区码 4201, 站点编码为空,表示统计该地区下的所有站点(9 个子站+城区),统计时间段覆盖所有 Region。为减少客户端 Scan 统计过程 RPC 调用,可以为 Scan 操作设置一个扫描缓存值,表示一次 RPC 调用可以从服务端读取的行数,从而减少客户端 RPC 请求次数,但扫描缓存值不能设置太高,否则会过多消耗客户端内存,严重时还会导致内存溢出,且延长 next 操作的时间,反而降低了查询效率。扫描缓存值的设置需要在减少 RPC 请求及客户端内存消耗之间取得平衡,实验中将扫描缓存值设置为 256。客户端 Scan 的统计过程的具体实现算法类似于区间统计协处理器,这里不再具体描述。各

区间值统计的结果,使用协处理器进行区间统计及客户端 Scan 进行统计所需的时间如表 1 所示,时间对比如图 4 所示。

表 1 实验结果

Tab. 1 Experimental results

Region 数量 / 个	数据总量 / 个	协处理器统计 时间 / s	Scan 统计 时间 / s
3	1 301 299	4.6	48.2
5	2 607 730	4.8	97.2
7	3 572 336	6.2	140.7
9	4 856 571	20.3	233.4
11	5 980 808	28.3	290.8

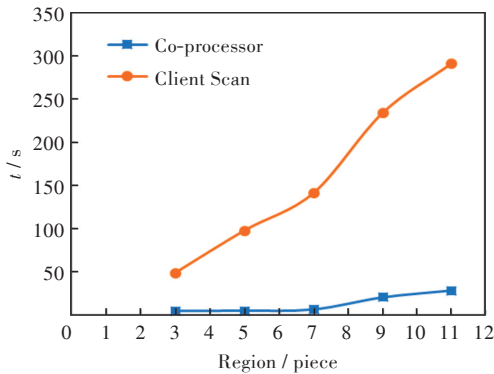


图 4 协处理器和客户端 Scan 区间统计时间对比

Fig. 4 Time comparison of interval statistics by co-processor and client Scan

从实验结果分析,随着区间统计需要扫描 Region 数量的增长,客户端 Scan 统计所需的时间呈直线增长,而使用协处理器所需的时间则增长平缓,且当 Region 数量较少时,时间几乎没有增长。使用协处理器进行区间统计较使用客户端 Scan 至少快一个数量级(10倍)。

4 结 语

在服务器端使用 Endpoint 协处理器对城市空气质量监测数据进行常规的统计工作,会显著的减少统计所需的时间。理论上,若 HBase 的数据表在 Hadoop 集群的每个数据节点上的 Region 数量相同,且每个 Region 的大小相同,由于可以进行并行计算,此时 Endpoint 协处理器的工作效率达到最佳,这也是实验中,当 Region 的数量较少时,区间统计的时间几乎没有增长的原因。但随着数据的增长,Region 的不断分裂导致其数量的增加,Region 在每个数据节点上的数量不再相同,数据在各个 Region 上的分布也不再均衡,实验中在进行区间统计时,客户端和 ZooKeeper 服务进行 RPC 通讯时会出现延迟阻塞的现象,从而导致 Region 数量从 7 增加到 9 时,区间统计所需时间发生突变

(增加近 3 倍)。如何有效解决这一问题,将是今后的研究方向。

参考文献

- [1] 中华人民共和国环境保护部. 环境空气质量标准: GB 3095-2012[S]. 北京:中国环境科学出版社,2012.
- [2] 中华人民共和国环境保护部. 环境空气质量指数 AQI 技术规定: HJ 633-2012[S]. 北京:中国环境科学出版社,2012.
- [3] 中华人民共和国环境保护部. 环境空气质量评价技术规范(试行): HJ 663-2013[S]. 北京:中国环境科学出版社,2013.
- [4] 王珊,王会举,覃雄派,等. 架构大数据: 挑战、现状与展望[J]. 计算机学报,2011,34(10): 1741-1751.
- [5] 孟小峰,慈祥. 大数据管理: 概念、技术与挑战[J]. 计算机研究与发展,2013,50(1): 146-169.
- [6] 陈吉荣,乐嘉锦. 基于 Hadoop 生态系统的大数据解决方案综述[J]. 计算机工程与科学,2013,35(10): 25-35.
- [7] MBARKA S, FOUTSE K, SOFIENE T. Task scheduling in big data platforms: a systematic literature review[J]. The Journal of Systems & Software,2017,134: 170-189.
- [8] YI Z, SHUBBHI T, GAUTAM D, et al. Towards thermal-aware Hadoop clusters[J]. Future Generation Computer Systems, 2018, 88: 40-54.
- [9] WU W T, LIN W W, HSU C H, et al. Energy-efficient hadoop for big data analytics and computing: A systematic review and research insights [J]. Future Generation Computer Systems, 2018, 86: 1351-1367.
- [10] Apache Software Foundation. Apache Hadoop[EB/OL]. (2014-06-30)[2018-09-06]. <http://hadoop.apache.org>.
- [11] Apache Software Foundation. Apache HBase [EB/OL]. (2014-10-16)[2018-10-18]. <http://hbase.apache.org>.
- [12] MINGJIE L, EUGENE K, ANDREW P. Coprocessor introduction [EB/OL]. (2012-02-01)[2018-10-26]. https://blogs.apache.org/hbase/entry/coprocessor_introduction.
- [13] VASHISHTHA H, STROULIA E. Enhancing query support in HBase via an extended coprocessors framework[C]//4th European Conference on Towards a Service-Based Internet. Berlin: Springer-Verlag, 2011:75-87.
- [14] HAN D, STROULIA E. A three-dimensional data model in HBase for large time-series dataset analysis [C]//IEEE 6th International Workshop on the Maintenance and Evolution of Service-Oriented and Cloud-Based Systems (MESOCA). Piscataway: IEEE, 2012:47-56.
- [15] 刘黎志,吴云韬. 环境空气质量监测大数据存储模式研究[J]. 环境科学与技术,2016,39(5): 123-128.
- [16] 刘黎志,邓介一,吴云韬. 基于 HBase 的多分类逻辑回归算法研究[J]. 计算机应用研究,2018,35(10): 3007-3010. 本文编辑:陈小平